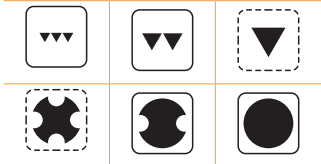
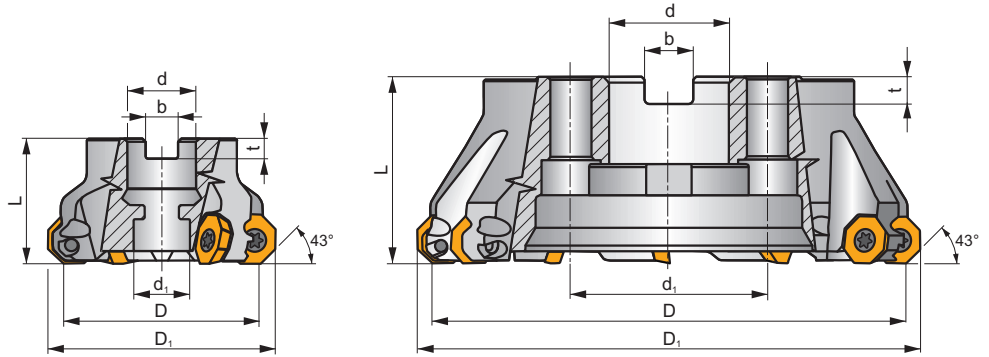
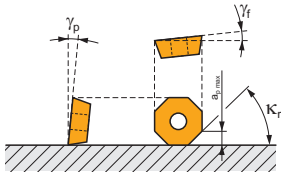


**SOE06Z**



$K_r$	43°
$a_{pmax}$	3,3 (9,9) mm



$h_m$  0,06 - 0,20



ISO	D	D <sub>1</sub>	L	d	d <sub>1</sub>	b	t	$\gamma_f$	$\gamma_p$					kg			
50A04R-S45OE06Z-C	50	60,2	40	22	18	10,4	6,3	+6	+10	4	✓	10700	✓	0,48	GI283	FA053	-
50A05R-S45OE06Z-C	50	60	40	22	18	10,4	6,3	+1	+10	5	✓	10700	✓	0,48	GI283	FA053	-
56A05R-S45OE06Z-C	56	66	40	22	18	10,4	6,3	+6	+10	5	✓	10100	✓	0,54	GI283	FA053	-
63A04R-S45OE06Z-C	63	73,2	40	22	18	10,4	6,3	+6	+10	4	✓	9600	✓	0,59	GI283	FA053	-
63A06R-S45OE06Z-C	63	73	40	22	18	10,4	6,3	+1	+10	6	✓	9600	✓	0,61	GI283	FA053	-
70A06R-S45OE06Z-C	70	80	40	22	18	10,4	6,3	+6	+10	6	✓	9100	✓	0,69	GI283	FA053	-
80A05R-S45OE06Z-C	80	90,2	50	27	38	12,4	7	+6	+10	5	✓	8500	✓	1,03	GI283	FA051	AC001
80A06R-S45OE06Z-C	80	90,2	50	27	38	12,4	7	+6	+10	6	✓	8500	✓	1,07	GI283	FA051	AC001
90A07R-S45OE06Z-C	90	100	50	32	45	14,4	8	+6	+10	7	✓	8000	✓	1,63	GI283	FA051	AC002
100A06R-S45OE06Z-C	100	110,2	50	32	45	14,4	8	+6	+10	6	✓	7600	✓	1,90	GI283	FA051	AC002
100A08R-S45OE06Z-C	100	109,9	50	32	45	14,4	8	+1	+10	8	✓	7600	✓	1,92	GI283	FA051	AC002
125A07R-S45OE06Z-C	125	135,2	63	40	56	16,4	9	+6	+10	7	✓	6800	✓	3,35	GI283	FA051	AC003
125A09R-S45OE06Z-C	125	134,9	63	40	56	16,4	9	+1	+10	9	✓	6800	✓	3,35	GI283	FA051	AC003
160C09R-S45OE06Z-C	160	170,2	63	40	66,7	16,4	9	+6	+10	9	✓	6000	✓	7,11	GI283	FA056	-
160C12R-S45OE06Z-C	160	169,9	63	40	66,7	16,4	9	+1	+10	12	✓	6000	✓	7,06	GI283	FA056	-
200C11R-S45OE06Z-C	200	210,2	63	60	101,6	25,7	14	+6	+10	11	✓	5300	✓	10,80	GI283	FA057	-
200C14R-S45OE06Z-C	200	209,9	63	60	101,6	25,7	14	+1	+10	14	✓	5300	✓	11,17	GI283	FA057	-



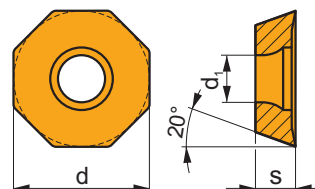
GI283	OEHT 0604AE..	REHT 1604M0..	XEHT 0604AE..

FA051	US 5011-T20P	5,0	M 5	11	SDR T20P-T	-	-	-	-
FA053	US 5011-T20P	5,0	M 5	11	SDR T20P-T	HS 1030C	-	-	-
FA056	US 5011-T20P	5,0	M 5	11	SDR T20P-T	HS 1240C	CAC 160C	HSD 0825C	HXK 5
FA057	US 5011-T20P	5,0	M 5	11	SDR T20P-T	HS 1655C	CAC 200C	HSD 1025C	HXK 7

AC001	KS 1230	K.FMH27
AC002	KS 1635	K.FMH32
AC003	KS 2040	K.FMH40

## OEHT 06

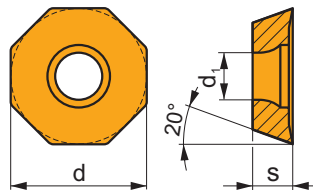
	d	d <sub>1</sub>	s
0604	16,050	5,50	4,76



		ISO		P	M	K	N	S	H			r <sub>c</sub>	f <sub>min</sub>	f <sub>max</sub>	a <sub>p min</sub>	a <sub>p max</sub>
  	 	OEHT 0604AEER-MF	M6330	█	█			█			-	-	0,08	0,20	0,5	3,3
			M8310	█	█			█			-	-	0,08	0,20	0,5	3,3
			M8330	█	█		□	□			-	-	0,08	0,20	0,5	3,3
			M8340	█	█				█			+/-	-	0,08	0,20	0,5
  	 	OEHT 0604AEER-MM	M9325	█	█			█			---	-	0,08	0,21	0,5	3,3
			M9340	█	█			█			---	-	0,08	0,21	0,5	3,3
			M6330	█	█			█			-	-	0,08	0,25	0,5	3,3
			M8310	█	█			█			-	-	0,08	0,25	0,5	3,3
			M8330	█	█		□	□			-	-	0,08	0,25	0,5	3,3
			M8340	█	█				█			+/-	-	0,08	0,25	0,5
  	 	OEHT 0604AESR-M	M9325	█	█			█			---	-	0,08	0,30	0,5	3,3
			M9340	█	█			█			---	-	0,08	0,30	0,5	3,3
			M6330	█	█			█			-	-	0,08	0,35	0,5	3,3
			M8310	█	█			█			-	-	0,08	0,35	0,5	3,3
			M8330	█	█		□	□			-	-	0,08	0,35	0,5	3,3
			M8340	█	█				█			+/-	-	0,08	0,35	0,5

## OEHT 06-FA

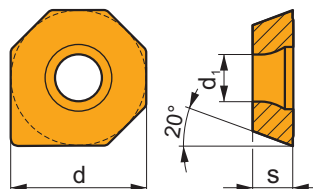
	d	d <sub>1</sub>	s
0604	16,050	5,50	4,76



		ISO		P	M	K	N	S	H			r <sub>ε</sub>	f <sub>min</sub>	f <sub>max</sub>	a <sub>p min</sub>	a <sub>p max</sub>
		OEHT 0604AEFR-FA	M0315				■			●	++	-	0,08	0,20	0,5	3,3
			HF7				■			●	+/-	-	0,08	0,20	0,5	3,3

## XEHT 06

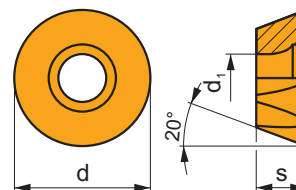
	d	d <sub>1</sub>	s
0604	16,050	5,50	4,76



		ISO		P	M	K	N	S	H			r <sub>ε</sub>	f <sub>min</sub>	f <sub>max</sub>	a <sub>p min</sub>	a <sub>p max</sub>
		XEHT 0604AESR	M8310	■	▣		▣			⊗	-	-	0,08	0,35	0,1	3,3
			M8330	■	▣			□		⊗	-	-	0,08	0,35	0,1	3,3

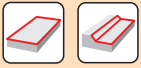
## REHT 16

	d	d <sub>1</sub>	s
1604	16,000	5,50	4,76



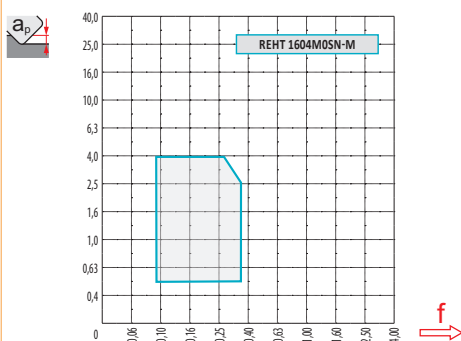
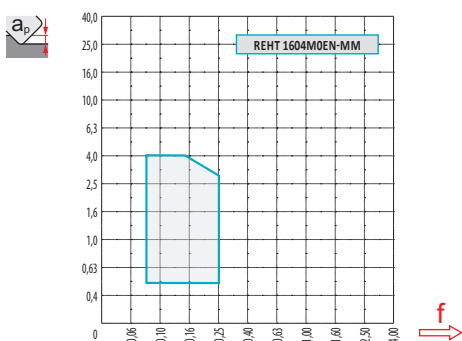
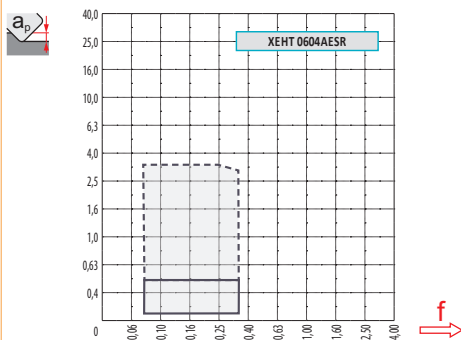
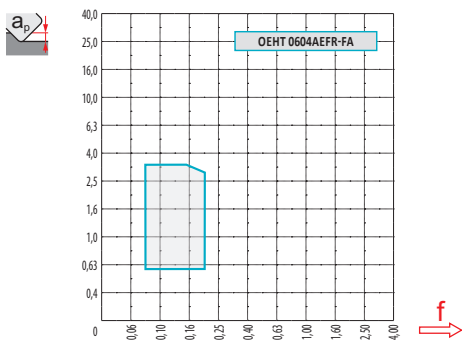
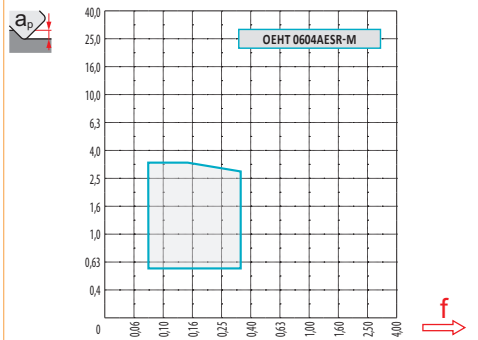
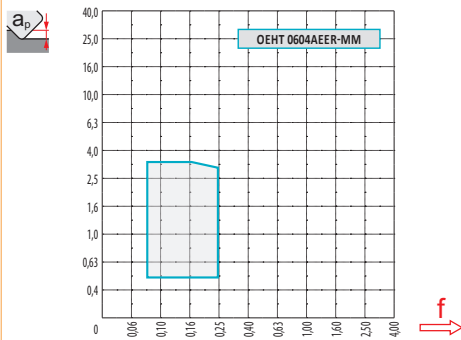
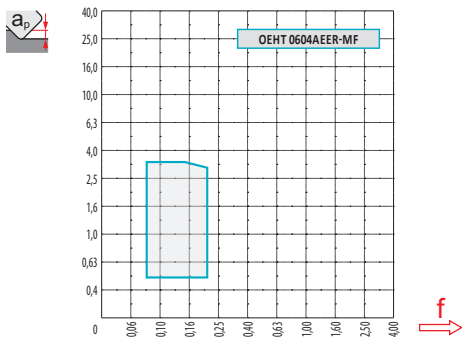
i	ISO	Material	P	M	K	N	S	H	?	Drop	r <sub>ε</sub>	f <sub>min</sub>	f <sub>max</sub>	a <sub>p min</sub>	a <sub>p max</sub>
E	REHT 1604M0EN-MM	M9325	█	█			█		●	---	-	0,08	0,21	0,5	4,0
		M9340	█	█			█		●	---	-	0,08	0,21	0,5	4,0
		M6330	█	█			█		✘	-	-	0,08	0,25	0,5	4,0
		M8310	█	█			█		●	-	-	0,08	0,25	0,5	4,0
		M8330	█	█		□	□		●	-	-	0,08	0,25	0,5	4,0
		M8340	█	█			█		✘	+/-	-	0,08	0,25	0,5	4,0
S	REHT 1604M0SN-M	M8345	█	█			█		✘	+/-	-	0,08	0,25	0,5	4,0
		M9325	█	█			█		✘	---	-	0,08	0,30	0,5	4,0
		M8310	█	█			█		✘	-	-	0,08	0,35	0,5	4,0
		M8330	█	█			□		✘	-	-	0,08	0,35	0,5	4,0
		M8340	█	█			█		✘	+/-	-	0,08	0,35	0,5	4,0

ISO	f <sub>min</sub>	f <sub>max</sub>	M9325	M9340	M0315	M6330	M8310	M8330	M8340	M8345	HF7	
P	●	0,10	0,30	404	362	-	310	383	382	331	263	-
	●	0,10	0,25	357	326	-	278	347	341	294	231	-
	✘	0,10	0,15	315	289	-	242	310	295	257	205	-
M	●	0,10	0,30	205	215	-	221	194	221	194	158	84
	●	0,10	0,25	184	194	-	194	173	199	173	137	74
	✘	0,10	0,15	158	173	-	168	158	176	152	121	63
N	●	0,10	0,30	-	-	798	-	-	942	-	-	357
	●	0,10	0,25	-	-	714	-	-	839	-	-	320
	✘	0,10	0,15	-	-	625	-	-	731	-	-	278
S	●	0,10	0,25	100	105	-	110	95	108	95	79	42
	●	0,10	0,20	89	95	-	95	84	96	84	68	37
	✘	0,10	0,15	79	84	-	84	79	85	74	58	32



$\frac{a_p}{D}$	0,05	0,10	0,15	0,20	0,25	0,30	0,40	0,50	0,60	0,70	0,75	0,80	0,90	1,00
	1,48	1,35	1,27	1,22	1,19	1,16	1,11	1,08	1,05	1,03	1,02	1,01	0,99	0,98
	2,87	2,05	1,69	1,48	1,33	1,23	1,09	0,75	0,94	0,90	0,89	0,88	0,88	1,00
	0,64	0,64	0,64	0,64	0,64	0,65	0,65	0,67	0,68	0,71	0,72	0,74	0,79	1,00

	OEHT 06-MF	OEHT 06-MM	OEHT 06-M	OEHT 06-FA	XEHT 06	REHT 16-MM	REHT 16-M
$r_e$	-	-	-	-	-	8	8
$\frac{a}{D}$	1,36	1,36	1,36	1,36	9,91	-	-



		<b>R</b>									
<b>O</b>	<b>R</b>		0,00	0,50	0,75	1,25	1,50	2,00	2,50	3,00	4,00
50	59,9		43,90	49,47	50,66	52,49	53,23	54,48	55,52	56,39	57,76
56	65,8		49,80	55,37	56,56	58,39	59,13	60,38	61,42	62,29	63,66
63	72,9		56,90	62,47	63,66	65,49	66,23	67,48	68,52	69,39	70,76
70	79,8		63,80	69,37	70,56	72,39	73,13	74,38	75,42	76,29	77,66
80	89,9		73,90	79,47	80,66	82,49	83,23	84,48	85,52	86,39	87,76
90	99,8		83,80	89,37	90,56	92,39	93,13	94,38	95,42	96,29	97,66
100	109,9		93,90	99,47	100,66	102,49	103,23	104,48	105,52	106,39	107,76
125	134,9		118,90	124,47	125,66	127,49	128,23	129,48	130,52	131,39	132,76
160	169,9		153,90	159,47	160,66	162,49	163,23	164,48	165,52	166,39	167,76
200	209,9		193,90	199,47	200,66	202,49	203,23	204,48	205,52	206,39	207,76

		$f_{max}$		<b>O</b>	<b>R</b>	<b>O</b>	<b>R</b>
				$\alpha_{max}^\circ$	$a_p/l$	$\alpha_{max}^\circ$	$a_p/l$
50	1,43	0,33	50	4,9	8,4/100	4,6	7,9/100
56	1,45	0,35	56	4,2	7,2/100	4	6,8/100
63	1,47	0,37	63	3,6	6,1/100	3	5,1/100
70	1,49	0,39	70	3,1	5,3/100	2,7	4,6/100
80	1,52	0,42	80	2,6	4,4/100	2,2	3,7/100
90	1,55	0,44	90	2,3	3,9/100	2	3,3/100
100	1,57	0,47	100	2	3,3/100	1,8	3,0/100
125	1,62	0,52	125	1,5	2,5/100	1,3	2,1/100
160	1,68	0,59					
200	1,73	0,66					

		<b>O</b>				<b>R</b>			
<b>O</b>	<b>R</b>	$d_{min}$	$d_{max}$	$d_{min}^{S_{max}}$	$d_{max}^{S_{max}}$	$d_{min}$	$d_{max}$	$d_{min}^{S_{max}}$	$d_{max}^{S_{max}}$
50	59,9	91,5	120,0	5,9	5,9	91,5	119,5	5,9	5,9
56	65,8	103,2	131,5	5,9	5,9	103,5	131,0	5,9	5,9
63	72,9	117,4	146,0	5,9	5,9	118,0	145,5	5,9	5,9
70	79,8	131,2	159,5	5,9	5,9	131,5	159,0	5,9	5,9
80	89,9	151,4	180,0	5,9	5,9	151,5	179,5	5,9	5,9
90	99,8	171,2	199,5	5,9	5,9	171,5	199,0	5,9	5,9
100	109,9	191,4	220,0	5,9	5,9	191,5	219,5	5,9	5,9
125	134,9	241,3	270,0	5,9	5,9	241,5	269,5	5,9	5,9

		<b>O</b>	<b>R</b>
		3,1	3,0



**R**

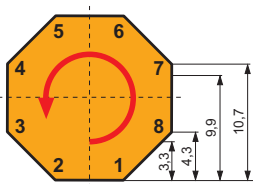
**R**

$\overline{D}$	$\mu\text{m}$	3	5	10	15	20	30	40	50	60	80	100
59,9		0,848	1,095	1,548	1,896	2,189	2,681	3,096	3,461	3,792	4,378	4,895
65,8		0,889	1,147	1,622	1,987	2,294	2,810	3,245	3,628	3,974	4,589	5,130
72,9		0,935	1,207	1,708	2,091	2,415	2,958	3,415	3,818	4,183	4,830	5,400
79,8		0,979	1,263	1,787	2,188	2,527	3,095	3,573	3,995	4,376	5,053	5,650
89,9		1,039	1,341	1,896	2,322	2,682	3,285	3,793	4,240	4,645	5,364	5,997
99,8		1,094	1,413	1,998	2,447	2,826	3,461	3,996	4,468	4,894	5,651	6,318

**r<sub>e</sub>**

$r_e$	$\mu\text{m}$	3	5	10	15	20	30	40	50	60	80	100
8,0		0,438	0,566	0,800	0,980	1,131	1,386	1,600	1,789	1,960	2,263	2,530

**i**



$a_p$	
-> 3,3	8
-> 4,3	7
-> 9,9	4
-> 10,7	2

